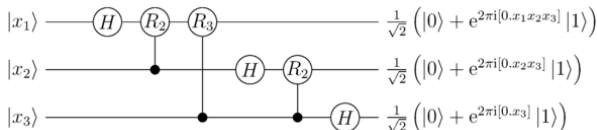


# Inverse Quantum Fourier Transform



Analogamente al caso classico per trasformare un registro quantistico dal dominio di Fourier al dominio di partenza è necessario un operatore Trasformata di Fourier Inversa.

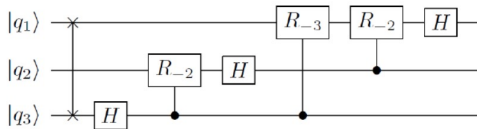
Consideriamo l'esempio visto nella lezione precedente, la QFT a 3 qubit:



# Inverse Quantum Fourier Transform

Poiché la QFT è una trasformazione unitaria è certamente invertibile.

Considerando quindi l'esempio del circuito a 3 qubits, il circuito inverso sarà ( $QFT^\dagger$ )



# Inverse Quantum Fourier Transform



In particolare poiché la QFT è costituita da porte quantistiche unitarie, la QFT inversa si ottiene invertendo l'ordine di tutte le porte che costituiscono la QFT e prendendo la matrice ermitiana.

Quindi per l'operatore di Hadamard si ha

$$H^\dagger = H$$

per l'operatore di SWAP si ha:

$$\text{SWAP}^\dagger = \text{SWAP}$$

e per l'operatore di sfasamento si ha:

$$R_\varphi^\dagger = \begin{bmatrix} 1 & 0 \\ 0 & e^{2\pi i/2\varphi} \end{bmatrix}^\dagger = \begin{bmatrix} 1 & 0 \\ 0 & e^{-2\pi i/2\varphi} \end{bmatrix} := R_{-\varphi}$$



# Quantum Phase Estimation: Algoritmo di Kitaev

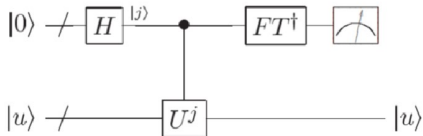
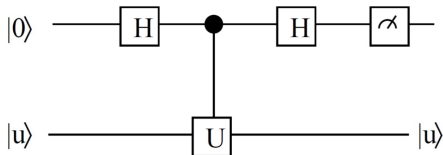


Figure 5.3. Schematic of the overall phase estimation procedure. The top  $t$  qubits (the '/' denotes a bundle of wires, as usual) are the first register, and the bottom qubits are the second register, numbering as many as required to perform  $U$ .  $|u\rangle$  is an eigenstate of  $U$  with eigenvalue  $e^{2\pi i\varphi}$ . The output of the measurement is an approximation to  $\varphi$  accurate to  $t - \lceil \log(2 + \frac{1}{\epsilon}) \rceil$  bits, with probability of success at least  $1 - \epsilon$ .



## Algoritmo di Kitaev

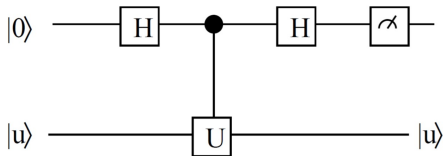


Il circuito di Kitaev è un' alternativa al circuito di stima della fase (QPE) visto nelle diapositive precedenti.  $|u\rangle$  è un autostato  $U$  con autovalori  $e^{2\pi i\varphi}$ .

Il qubit superiore ha una probabilità  $p \equiv \cos^2(\pi\varphi)$  di essere misurato.

Lo stato  $|u\rangle$  non è modificato dal circuito e può essere riutilizzato.

Se  $U$  viene sostituito con  $U^k$ , con  $k$  un intero arbitrario che possiamo controllare, ripetendo il circuito e aumentando  $k$  in modo opportuno, si possono avere bit multipli associati a probabilità  $p$  e quindi approssimazioni migliori di  $\varphi$ .



## Algoritmo di Kitaev



Iniziamo con il sistema nello stato:

$$|0\rangle|u\rangle \quad (2)$$

Dopo l'operatore di Hadamard sul primo qubit, otteniamo

$$\frac{1}{\sqrt{2}}(|0\rangle + |1\rangle)|u\rangle \quad (3)$$

Dopo la porta di controllo U si ha:

$$\frac{1}{\sqrt{2}}(|0\rangle + e^{2i\pi\varphi}|1\rangle)|u\rangle \quad (4)$$

Dopo il secondo operatore di Hadamard si ha:

$$\frac{1}{2} [ (|0\rangle + |1\rangle) + e^{2i\pi\varphi} (|0\rangle - |1\rangle) ] |u\rangle$$



## Algoritmo di Kitaev



Raggruppando le ampiezze dei vettori della base computazionale si ha:

$$\frac{1}{2} [ |0\rangle (1 + e^{2i\pi\varphi}) + |1\rangle (1 - e^{2i\pi\varphi}) ] |u\rangle \quad (6)$$

Da questa espressione si deduce che la probabilità per lo stato  $|0\rangle$  di essere osservato è pari al modulo quadro dell'ampiezza, cioè:

$$\frac{|1 + e^{2i\pi\varphi}|^2}{4} = \cos^2 \pi\varphi$$

ricordando l'identità trigonometrica:

$$\cos^2(x) = \frac{1 + \cos(2x)}{2}$$

